

عیب‌یابی روبات موازی 3-پی‌اس‌پی با استفاده از روش آنالیز مولفه‌های اصلی

امیر رضائی^۱، علیرضا اکبرزاده^{۲*}

۱- دانشجوی دکترا، مهندسی مکانیک، دانشگاه فردوسی مشهد، مشهد، ایران

۲- استاد، مهندسی مکانیک، دانشگاه فردوسی مشهد، مشهد، ایران

* مشهد، صندوق پستی 9177948974 ali_akbarzadeh@um.ac.ir

چکیده

در این مقاله، از روش آنالیز مولفه‌های اصلی موسمون به روش پی‌اس‌پی برای تعیین حالت معیوب ربات موازی 3-پی‌اس‌پی استفاده شده است. این روش یک روش آماری محسوب می‌شود که در آن تعدادی متغیر هم‌بسته به مجموعه‌ای کوچکتر از متغیرهای ناهم‌بسته منتقل می‌شود. از یک مدل پی‌اس‌پی می‌توان برای تعیین حد آستانه آماری و همچنین مربع خطای پیش‌بینی مشاهدات جدید، به منظور بررسی وجود عیوب در ربات استفاده کرد. برای بررسی کارایی این روش به منظور عیب‌یابی ربات، یک کنترلر غیرخطی با استفاده از مدل غیرخطی دینامیک سیستم ربات است طراحی شده است. این روش موسمون به روش کنترل گشتاور محاسبه شده می‌باشد. در این روش، از مدل دینامیک معکوس ربات در حلقه بازخورد کنترلی برای خطی‌سازی و خشی‌سازی دینامیک سیستم استفاده شده و همچنین از مدل دینامیک مستقیم بخطی مدل واقعی ربات در حلقه کنترلی استفاده می‌شود. در این مقاله، دو عیوب به صورت مصنوعی به مدل شبیه‌سازی شده ربات اعمال گردیده و اثرات ناشی از این عیوب بر روی سیستم مورد بررسی قرار گرفته است. این عیوب شامل عیوب در ولتاژ ورودی سرو موتورها یا سرو دrajوها و عیوب در سنسورهای مکان یا عیوب مربوط به لقی اتصالات می‌باشند. با اعمال این دو عیوب به مدل کنترلر ربات در طی یک مسیر حرکتی، خروجی‌های سیستم برای حالت‌های بدون عیوب و معیوب با هم مقایسه شده و عیب‌یابی برای ربات با استفاده از روش پی‌اس‌پی انجام شده است.

اطلاعات مقاله

مقاله پژوهشی کامل

دریافت: ۱۲ دی ۱۳۹۳

پذیرش: ۰۴ بهمن ۱۳۹۳

ارائه در سایت: ۲۵ بهمن ۱۳۹۳

کلید واژگان:

عیب‌یابی

آنالیز مولفه‌های اصلی

ربات موازی

مربع خطای پیش‌بینی

کنترل گشتاور محاسبه شده

Fault detection of the 3-PSP parallel robot using the principal components analysis method

Amir Rezaei, Alireza Akbarzadeh*

Department of Mechanical Engineering, Ferdowsi University, Mashhad, Iran

* P.O.B. 9177948974 Mashhad, Iran, ali_akbarzadeh@um.ac.ir

ARTICLE INFORMATION

Original Research Paper
Received 02 January 2015
Accepted 24 January 2015
Available Online 14 February 2015

Keywords:
Fault detection
Principle component analysis
Parallel robot
Square prediction error
Computed torque control

ABSTRACT

In this paper, a multivariate statistical method called Principal Components Analysis, PCA, is utilized for detection faults in a 3-PSP parallel manipulator. This statistical method transfers original correlated variables into a new set of uncorrelated variables. PCA method can be used to determine the thresholds of statistics and calculate square prediction errors of new observations for checking the system when a fault occurs in the robot. To investigate the ability of the PCA method for fault detection of the robot, a nonlinear model-based controller called Computed Torque Control, CTC, is designed. In this control scheme, rigid-body inverse dynamics model of the robot is utilized to linearize and cancel the nonlinearity in the controlled system. Also, instead of using the robot prototype model, direct dynamics of the robot is used in the robot-control system. In this paper, two faults are artificially applied to the robot-control system. These two faults consist of faults in servo drive or servo motors and faults in joints clearances or position sensors. Finally, these faults are applied on the robot throughout a desired end-effector trajectory and the resultant outputs are obtained for both with and without faults in the manipulator. Consequently, the desired and faulty outputs are compared and fault detection using PCA method for the robot is performed.

ربات، نقش اساسی و مهمی را در نحوه عملکرد آن بازی می‌کند. در سالیان اخیر، با رشد روزافزون کاربرد ربات‌ها در صنایع مختلف و همچنین نیاز به دست‌یافتن به دقت‌های بالا برای انجام امور گوناگون، بحث عیب‌یابی در سیستم‌های رباتیکی موضع سیاری از تحقیقات در دنیا قرار گرفته است [۱-۳]. در یک سیستم رباتیکی، منابع زیادی برای ایجاد خطأ وجود دارد، از قبیل خطاهای مکانیکی، الکترونیکی، الکتریکی و سیستم‌های کنترلی آن‌ها. در سیستم‌های رباتیک، عموماً مرزی برای دقت در ربات‌ها نظر گرفته می‌شود.

-۱ مقدمه

عموماً ربات‌ها به منظور انجام کارهای پرخطر و یا برای کار در مکان‌های غیرقابل دسترسی طراحی و استفاده می‌شوند تا باعث صرفه‌جویی در زمان، کاهش رسیک و هزینه‌های انجام کار گردد. ربات‌ها به دلیل فرآیند پیچیده‌ی به کار رفته در ساخت و تولیدشان، مستعد به وجود آمدن عیوبی در ساختار و یا عملکردشان می‌باشند. این عیوب در سیستم نرم‌افزار یا سخت‌افزار ربات‌ها می‌توانند بروز یابند. بنابراین، یافتن عیوب و بررسی تاثیر هر عیوب در عملکرد

Please cite this article using:

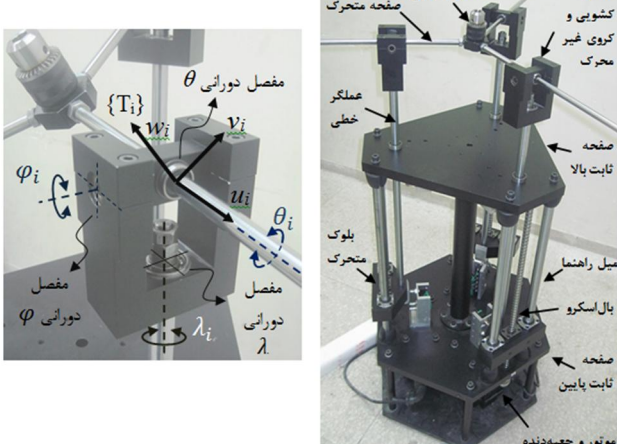
A. Rezaei, A. Akbarzadeh, Fault detection of the 3-PSP parallel robot using the principal components analysis method, *Modares Mechanical Engineering*, Vol. 15, No. 3, pp. 419-430, 2015 (In Persian)

برای ارجاع به این مقاله از عبارت ذیل استفاده نمایید:

حرکتی اعمال گردیده و خروجی‌های سیستم برای حالت‌های بدون عیب و معیوب با هم مقايسه و عیب‌یابی برای ربات انجام شده است.

۲- توصیف ساختار ربات موازی ۳-پی‌اس‌پی

در شکل ۱، مدل واقعی ربات موازی ۳-پی‌اس‌پی نمایش داده شده است. این مکانیزم، یک ربات موازی کامل بوده که صفحه متجرک^۹ آن سه درجه آزادی در فضا داشته و به شکل یک ستاره سه پر متقارن^{۱۰} موسوم به ستاره متجرک^{۱۱} و دو صفحه ثابت^{۱۲} می‌باشد. هر پره ستاره متجرک با پره دیگر متجرک^{۱۳} درجه می‌سازد. دو صفحه ثابت بالایی و پایینی، توسط دو میل زاویه ۱۲۰ درجه می‌باشند. هر پره دیگر متصل بوده و صفحه ثابت باشند. همچنین موتورها به صفحه پایینی متصل بوده و صفحه ثابت بالایی نقش راهنمای عملگرهای خطی را ایفا می‌کند. ستاره متجرک و صفحات ثابت بوسیله سه بازوی همسان موازی به یکدیگر متصل شده‌اند. هر کدام از این بازوها به ترتیب شامل یک مفصل کشوئی محرک^{۱۴}، یک مفصل کروی^{۱۵} و یک مفصل کشوئی غیرمحرک^{۱۶} می‌باشند (شکل ۱ را نگاه کنید). بنابراین ستاره متجرک توسط سه بازوی همسان با ساختار پی‌اس‌پی به صفحات ثابت متصل بوده که در مجموع این مکانیزم شامل سه حلقه سینماتیکی موازی بوده که ربات موازی ۳-پی‌اس‌پی را تشکیل می‌دهند. برای این ربات، سه سیستم انتقال قدرت که مستقل نسبت به هم عمل می‌کنند در نظر گرفته شده که هر مجموعه به صورت موتور و گیربکس، بال اسکرو و یک بلوك متجرک^{۱۷} که توسط بال اسکرو به حرکت واداشته می‌شود، طراحی شده است [۱۹-۱۷]. از کاربردهای این ربات می‌توان به استفاده آن در سیستم جهت‌دهی آتن‌های ماوهاره، شبیه‌ساز حرکت در فضا و اسپیندل یک ماشین فرز کنترل عددی نام برد. در مرجع [۱۸] کاربردهای مختلف و مدهای این ربات به تفصیل مورد بررسی قرار گرفته است. شکل ۲، بردارهای مکان، مختصه‌های حرکتی و دستگاه‌های مختصات اصلی و محلی برای ربات ۳-پی‌اس‌پی را نمایش می‌دهد. برای این منظور،



شکل ۱ مدل واقعی و مفصل کروی-کشوئی غیرمحرک ربات موازی ۳-پی‌اس‌پی

- 9- Moving platform
- 10- Tripetalous star
- 11- Moving Star (MS)
- 12- Fixed base
- 13- Ball screw
- 14- Active prismatic joint
- 15- Spherical joint
- 16- Passive prismatic joint
- 17- Moving block (Nut)

این مز می‌تواند توسط طراح یا کاربر نهایی^۱ تعیین شود. به عبارت دیگر، کاربر می‌تواند برای آستانه خطای مجاز در ربات مز می‌را در نظر بگیرد. هر چند این کار مشکلی بوده و اشتباه در تعیین مز خطای می‌تواند سیستم را دچار آسیب دیدگی کرده و عملکرد سیستم را تحت تاثیر قرار دهد [۵,۴]. سیستم‌های رباتیکی، سیستم‌هایی با تعداد بالای متغیر محاسبه می‌شوند. وقتی از یک روش کنترل فرآیند آماری کلاسیک^۲ یک متغیر^۳ برای کنترل یک سیستم چند متغیر استفاده می‌شود، معمولاً به دلیل همبسته شدن متغیرهای فرآیند، نتایج دقیقی حاصل نمی‌شود [۶]. به منظور رفع این مشکل، می‌توان از کنترل فرآیند آماری چندمتغیره^۵ استفاده کرد. با استفاده از این روش، می‌توان روابط بین متغیرهای سیستم را با توجه به پایگاه داده‌های تاریخی سیستم شناسایی و روند کلی سیستم را محاسبه کرد. حال وقتی عیب یا مشکلی در سیستم ایجاد شود، ساختار همپراکنش^۶ سیستم دچار تغییرات می‌شود. با این روش می‌توان عیوب بوجود آمده در سیستم را شناسایی نمود. کنترل فرآیند آماری چندمتغیره و به طور خاص آنالیز مولفه‌های اصلی یا به اختصار پی‌سی‌ای^۷ به منظور پیدا کردن عیوب سیستم استفاده می‌شوند. با استفاده از تحلیل مولفه‌های اصلی، می‌توان تعداد زیادی متغیر مستقل همبسته را با تعداد محدودی متغیر مستقل جدید که مولفه‌های اصلی نامیده می‌شوند و ناهمبسته‌اند، جایگزین نمود. به این ترتیب، نه تنها بعد مساله تقلیل می‌یابد، بلکه مساله چند خطی پیش نمی‌آید. یکی از مزایای این روش، این است که می‌توان تمام متغیرهای سیستم را به صورت ورودی برای مدل عیوب پی‌سی‌ای تعریف کرد. جکسون در [۷] آنالیز مولفه‌های اصلی را به عنوان ابزار کنترل فرآیند آماری چند متغیره مورد مطالعه قرار داد. این روش، برای تبدیل یک فضای اندازه‌گیری چند بعدی به یک فضای با ابعاد به مراتب کمتر استفاده می‌شود [۸,۶]. بنابراین، پی‌سی‌ای برای دو منظور کنترل فرآیند آماری چندمتغیره و همچنین عیوب پایابی مورد مطالعه قرار گرفته است [۱۰,۹]. با توجه به قابلیت‌ها و برتری‌های روش پی‌سی‌ای، این روش می‌تواند بعنوان یک روش رایج در عیوب پایابی سیستم‌های مختلف از قبیل سیستم‌های تهویه مطبوع، چیلرها و پمپ‌ها، سیستم تصفیه فاضلاب و سیستم‌های دینامیکی غیرخطی استفاده گردد [۱۱-۱۶].

انجام آزمایش روی یک ربات با تغییر پارامترهای آن و اندازه‌گیری معیارهای عملکرد ربات، کاری سخت، زمان بر و پرهزینه تلقی می‌شود. برای کاهش این مشکلات، می‌توان از مدل سیستم بهره گرفته و با استفاده از شبیه‌سازی، به انجام آزمایش‌های مختلف روی ربات پی‌اس‌پی-روش آنالیز مولفه‌های اصلی برای تعیین حالت معیوب ربات موازی ۳-پی‌اس‌پی استفاده شده و فرایند عیوب پایابی به کمک این روش توضیح داده شده است. برای این منظور، ابتدا ساختار ربات موازی ۳-پی‌اس‌پی^۸ معرفی و دینامیک ربات با استفاده از روش تکمیلی طبیعی مدل گردیده است. همچنین با استفاده از مدل دینامیک ربات و روش کنترل گشتاور محاسبه شده، یک مدل کنترلر غیرخطی برای ربات طراحی شده که از آن به عنوان پستری برای مدل سازی عیوب متدالوی سیستم و عیوب پایابی ربات با استفاده از روش آنالیز مولفه‌های اصلی استفاده گردیده است. سپس، دو عیوب متدالوی در سیستم‌های رباتیکی، به مدل شبیه‌سازی شده ربات در طی یک مسیر

1- End-user

2- Classical Statistical Process Control (CSPC)

3- Univariate control charts

4- Multivariate system

5- Multivariate Statistical Process Control (MSPC)

6- Covariance

7- Principal Component Analysis (PCA)

8- The 3-PSP parallel robot

روابط تمامی مختصه‌های حرکتی مربوط به اتصالات عملگر یا مستقل و همچنین اتصالات غیرعملگر یا وابسته ظاهر خواهند شد. این مختصه‌های حرکتی در رابطه (1) تعریف شده‌اند. با توجه به شکل 2، می‌توان ماتریس‌های انتقال و دوران برای هر عضو را بدست آورد. سپس با استفاده از این ماتریس‌ها، ماتریس عمومی انتقال برای زنجیره‌های سینماتیکی ربات را محاسبه کرد. ماتریس عمومی انتقال برای زنجیره‌های سینماتیکی اول، دوم و سوم که دستگاه مختصات $\{P\}$ را به دستگاه مختصات $\{B\}$ منتقل می‌کند، و حاصل-ضرب ماتریس‌های انتقال و دوران اعضای این زنجیره‌ها می‌باشند را می‌توان به صورت زیر تعریف کرد

$${}^B_P T_{\text{Branch}\#i} = {}^B_B T \cdot {}^B_i T \cdot {}^{B'_i} T \cdot {}^{T_i} T \cdot {}^T_P T \quad i = 1, 2, 3 \quad (2)$$

و در آن

$${}^B_P T_{\text{Branch}\#i} = \begin{bmatrix} R_i & {}^B_P t_i \\ 0_{1 \times 3} & 1 \end{bmatrix} \quad (3)$$

می‌توان از دستگاه مختصات $\{B\}$ توسط هر کدام از سه ماتریس عمومی انتقال تعریف شده در رابطه (2) به دستگاه مختصات $\{P\}$ رسید. بنابراین، باید مقادیر بردار انتقال و دوران از هر سه ماتریس عمومی انتقال با هم برابر باشند. با برابر قرار دادن پارامترهای انتقال و دوران این سه ماتریس عمومی انتقال، می‌توان به یک سری قید موقعیتی³ و قید جهتی⁴ رسید. همان‌گونه که می‌دانیم، با برابر قرار دادن دو ماتریس عمومی انتقال، می‌توان به شش معادله رسید. از آنجایی که برای ربات سه ماتریس عمومی انتقال وجود داشته و ربات دارای دو حلقه سینماتیکی مستقل است، بنابراین می‌توان دو رابطه ماتریسی برای تساوی این سه ماتریس به صورت دو به دو نوشت. با این کار، 12 معادله قید مستقل از هم بدست خواهد آمد. معادلات مربوط به قیدهای سینماتیکی ربات بر اساس مختصه‌های سینماتیکی تعریف شده برای ربات بیان می‌شوند [20]. این معادلات، یک دستگاه معادلات جبری غیرخطی شامل 12 معادله و 12 مجهول را تشکیل می‌دهند که می‌توان آنها را به صورت زیر نوشت

$$\varphi(q)_{12 \times 1} = 0 \quad (4)$$

4- تحلیل دینامیک در فضای اتصالات برای ربات 3-پی‌اس‌پی
روش‌های متفاوتی از جمله روش نیوتن-اویلر، روش لاغرانژ و روش کارمنجاري برای تحلیل دینامیک ربات‌ها معرفی شده است. در این مقاله، برای تحلیل دینامیک ربات موازی 3-پی‌اس‌پی از روش متعامد تکمیلی طبیعی⁵ یا به اختصار این-آسی⁶ استفاده شده است [21]. این روش توسط ما⁷ و انجلس در سال 1991 معرفی شد [22] با استفاده از این روش، موقعیت، سرعت و شتاب تمامی مفاصل بدست آمده و با ترکیب آن با روش لاغرانژ، معادلات دینامیکی ربات بر حسب مختصات مفاصل‌های محرك و غیرمحرك بیان می‌شود. در حقیقت هدف از حل دینامیک یک ربات بدست آوردن معادلات دیفرانسیل حرکت ربات بوده که به صورت زیر بیان می‌شوند

$$F^{ac} = M(q)\ddot{q}^{ac} + C(q, \dot{q})\dot{q}^{ac} + G(q) \quad (5)$$

که در آن، بردار نیروی عملگرها و F^{ac} و $\ddot{q}^{ac} = [\dot{q}_1^{ac}, \dot{q}_2^{ac}, \dot{q}_3^{ac}]^T$ بردارهای شامل مقادیر سرعت و شتاب تمامی عملگرهای خطی ربات هستند. ماتریس‌های معرفی شده در معادله (5) بصورت زیر بدست آورده می‌شوند

$$M(q) = T^T M_{\text{total}} T \quad (6)$$

3- Position constraints

4- Orientation constraints

5- Natural Orthogonal Complement (NOC)

6- NOC

7- Ma

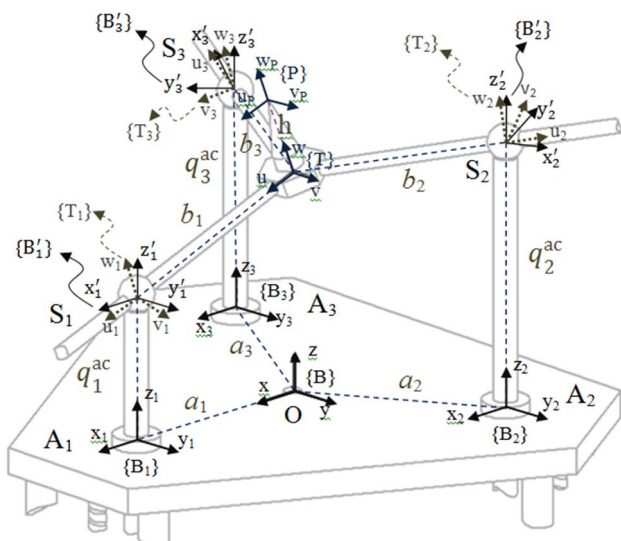
دستگاه مختصات ثابت $\{B\}$ متصل به نقطه 0 و در وسط صفحه ثابت بالایی تعریف شده است. همچنین دستگاه متحرک $\{T\}$ نیز متصل به نقطه T و در وسط ستاره متتحرک قرار داده شده است. سه بردار مکان ${}^B_i a$ بیان‌گر طول هر کدام از عملگرهای خطی می‌باشند. همچنین مکان عملگر نهایی ربات¹، نقطه T، و مکان نوک ابزار²، نقطه P، در دستگاه مختصات $\{B\}$ به ترتیب با دو بردار ${}^B p$ و ${}^B t$ بیان می‌شوند. سه بردار مکان ${}^B h$ نیز مرکز دستگاه $\{B\}$ را به مکان عملگر خطی / ام در گوشه صفحه مثلث شکل ثابت بالایی، A_i ، متصل می‌کند. بعلاوه، بردار مکان ${}^B h$ نیز نقاط T و P را به یکدیگر متصل کرده و اندازه آن، b_h نیز بیان‌گر طول ابزار است. سه بردار مکان ${}^B b$ نیز نقطه T را به امین مفصل کروی متصل کرده و اندازه آن بیان‌گر طول هر کدام از شاخه‌های ستاره متتحرک، b_i ، است. دستگاه‌های مختصات محلی $\{T_i\}$ ، $\{B_i\}$ ، و $\{B'_i\}$ نیز به ترتیب در نقاط A_i و S_i تعریف می‌شوند که $\{T_i\}$ یک دستگاه مختصات متتحرک و متصل به اتصال کروی S_i می‌باشد.

با توجه به این که می‌توان یک مفصل کروی را با سه مفصل دورانی ساده معادل گرفت، بنابراین در مجموع، ربات موازی 3-پی‌اس‌پی شامل 15 مفصل یک درجه آزادی خواهد بود که برای هر کدام از این مفاصل یک مختصه حرکتی می‌توان تعریف نمود. با توجه به شکل‌های 1 و 2 می‌توان مختصه‌های عمومی مربوط به تمامی مفاصل ربات را به صورت زیر نوشت

$$q_{15 \times 1} = [q_3^{ac} \quad q_{12 \times 1}^{un-ac}] = [q_1^{ac}, q_2^{ac}, q_3^{ac}, \theta_1, \varphi_1, \lambda_1, \theta_2, \varphi_2, \lambda_2, \theta_3, \varphi_3, \lambda_3, b_1, b_2, b_3]^T \quad (1)$$

3- تحلیل سینماتیک ربات موازی 3-پی‌اس‌پی

همان‌گونه که گفته شد، این ربات دارای 15 مختصه حرکتی می‌باشد. نظر به اینکه این ربات دارای 3 درجه آزادی بوده (تعداد مختصه‌های مستقل ربات)، بنابراین برای حل سینماتیک ربات نیاز به 12 معادله قید است (به تعداد مختصه‌های وابسته ربات). یکی از روش‌های بدست آوردن این معادلات قید، نوشتمن ماتریس عمومی انتقال از دستگاه $\{B\}$ به دستگاه $\{P\}$ است. در این



شکل 2 مختصه‌های حرکتی، بردارهای مکان برای یکی از زنجیره‌های سینماتیکی و تعریف دستگاه‌های مختصات اصلی و محلی ربات موازی 3-پی‌اس‌پی

1- End-effector
2- Tool tip

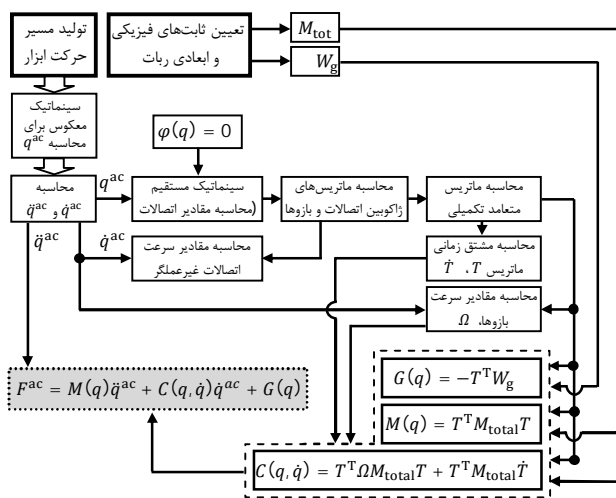
\ddot{q}^{ac} ، است را برای مرحله بعدی، مرحله ۱، بدست آورد. با داشتن مقادیر \ddot{q}^{ac} در مرحله ۱ و با انتگرال‌گیری عددی، می‌توان مقادیر مکان و سرعت عملگرهای خطی در مرحله ۱ را بدست آورد. انتگرال‌گیری عددی به روش ODE45 در جعبه ابزار سیمولینک³ نرمافزار متلب⁴ انجام گردیده است. الگوریتم حل دینامیک مستقیم ربات در شکل ۵ نمایش داده شده است.

۵- کنترل ربات موازی ۳-پی‌اس‌پی

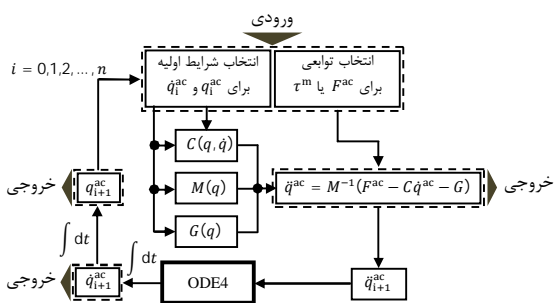
روش‌های کنترل ربات را می‌توان با توجه به نوع طراحی به دو دسته اصلی تقسیم کرد: کنترل برپایه مدل⁵ و کنترل غیرمبتنی بر مدل.⁶ به روش‌های کنترلی که به مدل دینامیکی ربات نیازمندند، کنترل برپایه مدل گفته

جدول ۱ مقادیر تعیین شده برای پارامترهای ابعادی و فیزیکی ربات

اندازه بردار	m	0A/ 0/181
طول ابزار	m	0/080
جرم بلوكهای متحرک	kg	9
جرم مفاصل کروی	kg	0/01
جرم ستاره متحرک	kg	4
اینرسی بلوكهای متحرک	kgm^2	diag(0/003, 0/39, 0/3294)
اینرسی مفاصل کروی	kgm^2	diag(0/01, 0/01, 0/12) $\times 10^{-3}$
اینرسی ستاره متحرک	kgm^2	diag(0/6451, 1/290, 0/6451)



شکل ۴ الگوریتم حل دینامیک معکوس ربات ۳-پی‌اس‌پی به روش ان-آ-سی



شکل ۵ الگوریتم حل دینامیک مستقیم ربات ۳-پی‌اس‌پی

$$C(q, \dot{q}) = T^T \Omega M_{\text{total}} T + T^T M_{\text{total}} \dot{T}$$

$$G(q) = -T^T W_g$$

که در آن $M(q)$ ماتریس معین مثبت اینرسی و ماتریس M_{total} شامل پارامترهای مربوط به جرم و اینرسی هر کدام از لینکهای ربات است. ماتریس $G(q)$ ترم مربوط به جاذبه بوده که در آن بردار W_g شامل وزن‌های هر کدام از لینک‌ها است. ماتریس $C(q, \dot{q})$ شامل سرعت زاویه‌ای لینک‌ها و نیز مرکزی می‌باشد که در آن ماتریس Ω شامل میزان سرعت زاویه‌ای لینک‌ها و نیز ماتریس‌های T و \dot{T} به ترتیب ماتریس‌های ان-آ-سی و مشتق آن نسبت به زمان هستند که ماتریس T شامل ابعاد و معادلات قید مربوط به ربات است.

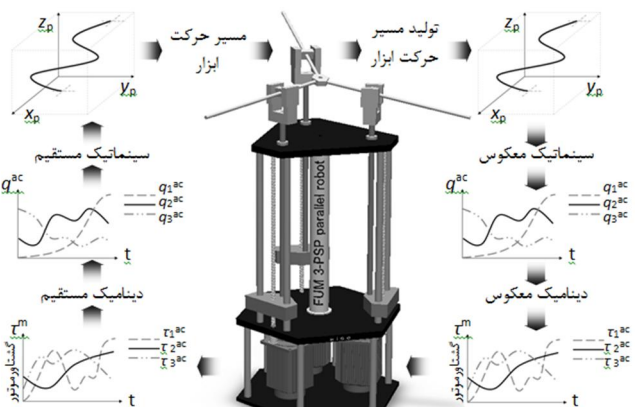
اکنون بسته به اینکه ورودی‌های مسئله چه خواهد بود، معادلات دینامیک ربات، معادله (۵)، به دو صورت قابل حل است. اگر ورودی‌ها، مسیر حرکت ابزار ربات و خروجی‌ها نیروی عملگرها باشند، مسئله دینامیک معکوس¹ و اگر ورودی‌ها نیروی عملگرها با گشتاور موتورها، τ ، و خروجی‌ها مسیر حرکت ابزار باشند، مسئله دینامیک مستقیم² است. در شکل ۳، پروسه حل دینامیک معکوس و مستقیم نشان داده است.

با حل سینماتیک معکوس و بدست آوردن ماتریس‌های ژاکوبین ربات، و سپس محاسبه سرعت و شتاب عملگرها بر اساس مسیر حرکت مطلوب ابزار، و همچنین با مشخص کردن گشتاورهای اعمالی راست معادله (۵) که معادل با گشتاور موتورها است را می‌توان بدست آورد.

در شکل ۴، مراحل حل و الگوریتم دینامیک معکوس ربات ۳-پی‌اس‌پی به روش ان-آ-سی به تفصیل نشان داده شده است. این مراحل قابل تعمیم برای تمامی ربات‌های موازی و سری نیز می‌باشد [23]. در جدول ۱، مقادیر ابعادی، اندازه جرم و اینرسی‌های مربوط به اعضای ربات آورده شده است. همچنین برای حل دینامیک مستقیم، با مشخص کردن گشتاورهای اعمالی به موتورها، می‌توان مسیر حرکت ربات را با حل معادله دیفرانسیل (۵) مشخص کرد. برای این منظور، می‌توان معادله (۵) را به صورت زیر بیان نمود

$$\ddot{q}^{ac} = M^{-1}(F^{ac} - C\dot{q}^{ac} - G) \quad (7)$$

برای گام نخست حل معادله دیفرانسیل بالا، ابتدا شرایط اولیه برای مکان و سرعت، q_0^{ac} و \dot{q}_0^{ac} ، در مرحله صفر را تعیین نموده و با توجه به این امر می‌توان مقادیر ماتریس‌های M ، C ، M^{-1} ، F^{ac} و G را در مرحله صفر محاسبه نمود. حال با داشتن مقادیر گشتاور موتورها به عنوان ورودی مسئله دینامیک مستقیم، می‌توان طرف چپ معادله (7) را که شامل شتاب عملگرهای خطی،



شکل ۳ چرخه حل دینامیک ربات موازی ۳-پی‌اس‌پی

3- Simulink

4- Matlab

5- Model base

6- Model free

$$\begin{cases} \alpha = J_t \\ \beta = C_t \dot{\theta}_m + G_t + \tau_f \end{cases} \quad (10)$$

ب) بخش خود تنظیم

$$\tau' = \ddot{\theta}_m^{\text{desired}} + k_v \dot{e} + k_p e \quad (11)$$

که در آن، $\ddot{\theta}_m^{\text{desired}}$ بردار شتاب دورانی مطلوب موتورها بوده که توسط کاربر تعیین می‌شود. همچنین، k_v و k_p ماتریس‌های 3×3 قطری و به ترتیب شامل مقادیر بهره‌های مشتقی و تناسبی می‌باشند. مقادیر بهره‌ها با استفاده از روش‌های مختلفی کارایی مطلوب سیستم را شناسایی می‌نمایند، بدست آورده می‌شوند. این ماتریس‌ها را می‌توان به صورت زیر تعریف نمود

$$k_v = \text{diag}(k_{v1}, k_{v2}, k_{v3}), \quad k_p = \text{diag}(k_{p1}, k_{p2}, k_{p3}) \quad (12)$$

که در آن، k_{v_i} و k_{p_i} به ترتیب بهره مشتقی و تناسبی مربوط به موتور i ام ربات می‌باشند. بردارهای e و \dot{e} نیز به ترتیب بردارهای سه‌بعدی شامل مقادیر خطای مکان دورانی موتورها و مشتق این مقادیر بوده و بصورت زیر تعریف می‌شوند

$$e = \theta_m^{\text{desired}} - \theta_m \quad \dot{e} = \dot{\theta}_m^{\text{desired}} - \dot{\theta}_m \quad (13)$$

اگر ربات دقیق مدل شده باشد، در آن صورت روش گشتاور محاسبه شده می‌تواند تمامی اتصالات را با استفاده از فیدبک خطی دکوپله کند و نتیجه، رهگیری دقیق میسر خواهد بود. برای این منظور، با استفاده از روابط (8) تا (11) و ساده‌سازی آن‌ها، می‌توان رابطه‌ای دکوپله بر حسب خطاهای بصورت زیر بدست آورد

$$\ddot{e} + k_v \dot{e} + k_p e = 0_{3 \times 1} \quad (14)$$

این رابطه، یک دستگاه معادلات دیفرانسیل خطی مرتبه 2 همگن است. برای موتور i ام ربات می‌توان نوشت

$$\ddot{e}_i + k_v i \dot{e}_i + k_p i e_i = 0 \quad (15)$$

بنابراین روش سی‌تی‌سی این امکان را می‌دهد که خطای دینامیکی به صورت یک معادله مرتبه 2 خطی با ضرایب ثابت بیان گردد. از آنجا که ماتریس‌های k_v و k_p ماتریس‌های متقابل معین مثبت می‌باشند، پاسخ مقدار e یا همان خطأ، به صورت نمایی به صفر نزدیک می‌شود. شکل 6 دیاگرام سیستم کنترل گشتاور محاسبه شده، زمان بر بودن محاسبات به دلیل محاسبه ماتریس‌های دینامیکی در فرآیند حل است.

بنابراین، برای کنترل یک ربات واقعی با استفاده از این روش، باید ماتریس‌های

می‌شود. همچنین، به روش‌های کنترلی که پارامترهای طراحی در آن‌ها با توجه به خطای رهگیری تنظیم شده و نیازی به مدل دینامیکی ربات ندارند، همانند کنترلر بی‌آی‌دی¹ و تطبیقی، کنترلرهای فازی و هوشمند، کنترل کننده‌هایی غیر مبتنی بر مدل نامیده می‌شوند. معمولاً این روش‌های کنترل را برای بهبود کارایی کنترلرها می‌توان با یکدیگر ترکیب نمود. در این قسمت، به بررسی کنترل ربات موازی 3-پی‌اس‌پی پرداخته شده است. برای این منظور، یک روش کنترلی به نام کنترل به روشن گشتاور محاسبه شده یا سی‌تی‌سی² که بر پایه مدل ربات طراحی شده، معرفی گردیده است [24.20.17].

1-5- کنترل به روش گشتاور محاسبه شده، سی‌تی‌سی

در این قسمت، کنترلی غیرخطی بر پایه مدل غیرخطی دینامیکی ربات ارائه شده است. برای این منظور بطور مستقیم در هر حلقه کنترلی، باید دستگاه معادلات دیفرانسیل 3 بعدی ربات موازی 3-پی‌اس‌پی حل گردد. در روش‌های کنترلی که بر پایه مدل دینامیکی سیستم استواراند، از دینامیک ربات در حلقه بازخورد³ کنترلی برای خطی‌سازی و خنثی‌سازی دینامیک سیستم استفاده می‌شود [24]. در روش کنترل گشتاور محاسبه شده، که یک کاربرد خاص از خطی‌سازی بازخورد⁴ سیستم‌های غیرخطی می‌باشد، سیستم غیرخطی در طول یک مسیر کنترل می‌شود [24]. اگر معادله (5) بر حسب گشتاور موتورها، مکان، سرعت و شتاب زاویه‌ای موتورها و همچنین با درنظر گرفتن اثر اصطکاک اتصالات بازنویسی شود، می‌توان نوشت

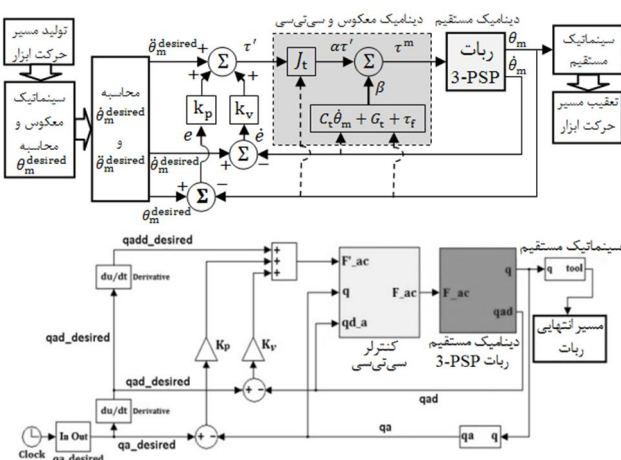
$$\tau^m = J_t \ddot{\theta}_m + C_t \dot{\theta}_m + G_t + \tau_f \quad (8)$$

که در آن، τ^m بردار مربوط به گشتاور موتورها و $\dot{\theta}_m$ و $\ddot{\theta}_m$ بردارهای مربوط به سرعت و شتاب زاویه‌ای موتورها است. معادله (8)، یک معادله دیفرانسیل غیرخطی می‌باشد. برای پیاده نمودن سیستم کنترل گشتاور محاسبه شده روی ربات، می‌توان سیستم کنترل را به دو قسمت خطی و غیرخطی تقسیم نمود. در حقیقت، این کنترلر را می‌توان یک قانون کنترل خطی ساز⁵ نامید. زیرا در این کنترلر، یک ترم کنترلی باعث خنثی شدن ترم غیرخطی کنترلر شده به صورتی که کل سیستم کنترل حلقه بسته خطی می‌گردد. بنابراین، می‌توان یک قانون کنترل جزء بندی شده برای این کنترلر تعریف کرد که شامل دو بخش می‌باشد. بخش اول، که به مدل ربات یا همان سیستم ارتباطی نداشته و جزء خطی کنترلر محسوب می‌شود و به نام بخش خود تنظیم⁶ معروف است. بخش دوم، شامل جزء غیرخطی کنترلر که شامل مدل ربات می‌باشد و به نام بخش خطی‌ساز وابسته به مدل ربات می‌باشد⁸. بنابراین، بخش وابسته به مدل کنترلر نقش یک تابع خطی کننده را ایفا می‌کند [24]. برای هر سیستم دینامیکی با معادلات حرکتی به صورت رابطه (8). برای مثال ربات موازی 3-پی‌اس‌پی، می‌توان این دو بخش از کنترلر سی‌تی‌سی را بصورت زیر نوشت:

(الف) بخش خطی ساز وابسته به مدل ربات

$$\tau^m = \alpha \tau' + \beta \quad (9)$$

که در آن



شکل 6 دیاگرام سیستم کنترل و مدل سیمولینک کنترل سی‌تی‌سی ربات

- 1- PID
- 2- Computed Torque Control (CTC)
- 3- Feedback
- 4- Feedback linearization
- 5- Linearizing control law
- 6- Partitioned control law
- 7- Servo-law portion
- 8- Linearizing model-based portion

می‌شود. با استفاده از روش پی‌سی‌ای ماتریس X را می‌توان به صورت زیر تجزیه کرد

$$\begin{aligned} X &= \hat{X} + E \\ \hat{X} &= \tilde{T}\tilde{P}^T \\ E &= \tilde{T}\tilde{P}^T \end{aligned} \quad (16)$$

که در آن \hat{X} زیرفضای اجزاء اصلی بوده و جهت اصلی بردارهای اندازه‌گیری شده را نشان می‌دهد. همچنین E زیرفضای باقیمانده جهت اندازه‌گیری عیب، \hat{T} ماتریس امتیاز⁵ و \tilde{P} ماتریس بارگذاری⁶ است. بنابراین می‌توان نوشت

$$\hat{T} = X\hat{P}, \quad \hat{P} \in \mathbb{R}^{n \times l}, \quad \tilde{T} \in \mathbb{R}^{m \times l} \quad (17)$$

که در آن l تعداد متغیرهای اصلی مدل می‌باشد. ستون‌های ماتریس \hat{P} شامل بردارهای ویژه مربوط به l تا از بزرگترین مقادیر ویژه λ_l ماتریس همبستگی⁷ می‌باشد و ستون‌های \tilde{P} شامل $m - l$ بردار ویژه باقیمانده می‌باشند. لذا

ماتریس‌های \hat{P} و \tilde{P} دارای خاصیت اوتوگوانل⁸ هستند.

در روش پی‌سی‌ای، ابتدا با استفاده از ماتریس کواریانس، S ، محاسبه شود. اما ماتریس کواریانس همیشه در عمل نامعلوم می‌باشد. این ماتریس معمولاً از روی نمونه متغیرها در شرایط نرمال تخمین زده می‌شود. فرض کنید ماتریس $X \in \mathbb{R}^{n \times m}$ شامل n نمونه (ردیف) و m متغیر (ستون) در شرایط نرمال باشد.

این ماتریس می‌تواند به صورت زیر نشان داده شود

$$X = [X_1 \ X_2 \ X_3 \ \dots \ X_n]^T = \begin{bmatrix} x_{11} & \dots & x_{1m} \\ \vdots & \ddots & \vdots \\ x_{n1} & \dots & x_{nm} \end{bmatrix} \quad (18)$$

با توجه به اصول آماری، ماتریس S به صورت زیر تخمین زده می‌شود

$$S = \frac{1}{n-1} \sum_{i=1}^n (x_i - \bar{x})(x_i - \bar{x})^T \quad (19)$$

در محاسبه، ستون‌های ماتریس X با میانگین صفر و واریانس یک نرمالیزه می‌شوند. با این کار، میانگین مقدار x صفر می‌شود ($0 = \bar{x}$). با قرار دادن $\bar{x} = 0$ می‌توان معادله (19) را به صورت زیر بازنویسی کرد

$$S = \frac{1}{n-1} \sum_{i=1}^n (x_i)(x_i)^T = \frac{1}{n-1} X^T X \quad (20)$$

سپس، می‌توان مقادیر ویژه ماتریس کواریانس S را تجزیه کرد. این کار به منظور محاسبه m مقدار ویژه $\lambda_1 \geq \lambda_2 \geq \dots \geq \lambda_m$ و بردارهای ویژه P انجام می‌گیرد. سپس، می‌توان تعداد l مولفه اصلی سیستم را تعیین نمود و ماتریس بارگذاری \tilde{P} را براساس l تا از مولفه‌های اصلی انتخاب کرد. برای محاسبه‌ی ماتریس تصویر⁹ C و \tilde{C} با استفاده از ماتریس \tilde{P} ، می‌توان از روابط زیر استفاده کرد

$$\begin{aligned} C &= \hat{P} \cdot \hat{P}^T \\ \tilde{C} &= \tilde{P} \cdot \tilde{P}^T = (I - C) \end{aligned} \quad (21)$$

لذا فضای اصلی m بعدی داده‌ها را می‌توان با l مولفه اصلی و $m - l$ باقیمانده جایگزین کرد. در نتیجه، همبستگی متغیرها از بین می‌رود. بعد از آنکه مدل پی‌سی‌ای ساخته شد، از این مدل می‌توان برای عیب‌یابی ربات استفاده کرد. با استفاده از روش پی‌سی‌ای، بردار نمونه جدید x می‌تواند بصورت زیر به دو قسمت تجزیه شود

$$x = \hat{x} + \tilde{x} \quad (22)$$

که در آن

مربط به دینامیک ربات با روش‌های هوشمند تقریب زده شوند یا اینکه تقریب‌هایی معقول برای محاسبه دینامیک ربات در نظر گرفته شود. علاوه بر این، در صورت دقیق مدل نشدن دینامیک ربات، این روش می‌تواند ناپایدار باشد. برای مثال، اگر تقریب‌های زیادی در محاسبه دینامیک ربات اعمال شود، می‌تواند باعث بوجود آمدن ناپایداری در سیستم شود [17.20].

6- عیب‌یابی ربات موازی ۳-پی‌اس‌پی

در ربات‌های صنعتی عیوب متداولی از قبیل لقی در اتصالات محرك و غیرفعال¹، رعایت نکردن ترانس‌های ساخت، نویز در موتورها، نویز در سروو درایوها، افزایش درجه حرارت و اصطکاک را می‌توان بشمرد. در این مقاله، از روش آنالیز مولفه‌های اصلی برای تعیین حالت‌های معیوب ربات موازی ۳-پی‌اس‌پی استفاده شده است. در این روش، ارتباط بین متغیرهای موجود در ربات بدست آمده و سپس با کاهش ابعاد داده‌های اندازه‌گیری شده، حالت‌های معیوب ربات شناسایی می‌شوند. برای این منظور، دو عیوب به صورت مجازی به مدل کنترلر غیرخطی شبیه‌سازی شده‌ی ربات اعمال گردیده و اثرات ناشی از این عیوب بر روی سیستم مورد بررسی قرار گرفته است. این عیوب شامل:

الف- عیوب در ولتاژ ورودی سروو موتورها یا سروو درایوها

ب- عیوب در سنسورهای مکان یا لقی‌ها.

همچنین از مدل دینامیک مستقیم ربات به جای مدل واقعی ربات در حلقه کنترلی استفاده شده و عیوب مورد نظر به صورت مجازی روی مدل ربات اعمال گردیده است.

7- عیب‌یابی به روش پی‌سی‌ای

عیب‌یابی در سیستم‌ها به روش‌های متداولی از قبیل روش‌های مدل محور، روش اطلاعات محور² و روش‌های آماری انجام می‌شود. در روش‌های مدل محور، ابتدا مقادیر نرمال پارامترهای سیستم جمع‌آوری شده و سپس در صورت رخ دادن عیوب، می‌توان با مقایسه بین مقادیر پارامترهای سیستم در حالت معیوب با حالت نرمال، در مورد معیوب یا سالم بودن سیستم قضاوت کرد. برای روش‌های اطلاعات محور می‌توان به سیستم‌های هوشمند، شبکه عصبی و تئوری فازی اشاره کرد [25].

هدف از عیب‌یابی به روش پی‌سی‌ای، تحلیل مولفه‌های اصلی سیستم است. این روش، یکی از انواع روش‌های تحلیل داده‌های چند متغیره بوده که هدف اصلی آن تقلیل بعد مساله مورد مطالعه است. با استفاده از تحلیل مولفه‌های اصلی، می‌توان تعداد زیادی متغیر توضیحی (متغیر مستقل) همبسته را با تعداد محدودی متغیر توضیحی جدید که مولفه‌های اصلی نامیده می‌شوند و ناهمبسته‌اند، جایگزین نمود. به این ترتیب، نه تنها بعد مساله تقلیل می‌یابد، بلکه مساله چند هم خطی پیش نمی‌آید. یکی از مزایای این روش، این است که می‌توان تمام متغیرهای سیستم را به صورت ورودی برای مدل عیوب‌یاب پی‌سی‌ای تعریف کرد. در این بین، روش پی‌سی‌ای یک روش آماری محاسبه می‌شود که در آن تعدادی متغیر همبسته³ به مجموعه ای کوچکتر از متغیرهای ناهمبسته⁴ منتقل می‌شوند.

فرض کنید $(C = [x_1 \ x_2 \ x_3 \ \dots \ x_m]^T) \in \mathbb{R}^m$ $x \in \mathbb{R}^m$ $x = [x_1 \ x_2 \ x_3 \ \dots \ x_m]^T$ برداری است که دارای m متغیر اصلی است و $X \in \mathbb{R}^{n \times m}$ ماتریسی که n نمونه برای هر متغیر را شامل

5- Score matrix

6- Loading matrix

7- Correlation matrix

8- Orthogonal

9- Projection matrix

1- Passive joints

2- Knowledge-based

3- Correlated variable

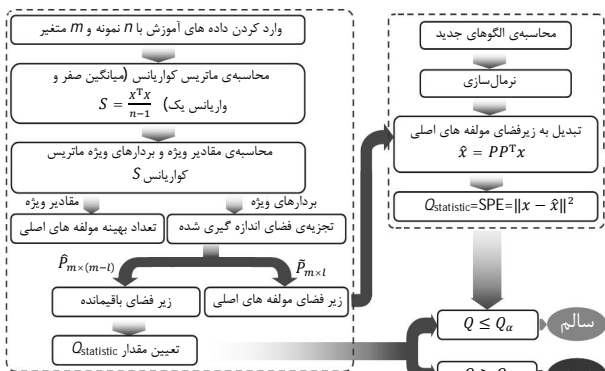
4- Uncorrelated variable

بی‌سی‌ای ذخیره می‌شود. این مقادیر، متناظر با مسیر حرکت مطلوب طراحی شده برای ربات است. مکان طراحی شده برای نوک ابزار و همچنین مقادیر متناظر با این مسیر حرکت برای اتصالات محرك و متجرک، سرعت و نیرو در عملگرهای به عنوان پارامترهای ورودی مسئله در نظر گرفته می‌شوند (شکل 8). سپس به ترتیب عیوب در نظر گرفته شده به ربات اعمال گردیده و مقادیر خروجی و ورودی عیوب دار در ماتریس ورودی برنامه بی‌سی‌ای که در شکل 8 نمایش داده شده، ذخیره می‌شود.

7-1-مسیر مطلوب برای ربات

در این قسمت، یک مسیر حرکت مطلوب بصورت یک بیضی فضایی برای مکان انتهایی ابزار در نظر گرفته شده و به ورودی مدل کنترل سی‌تی‌سی اعمال می‌شود. سپس خروجی‌های کنترلر شامل مقادیر اتصالات محرك و متجرک، سرعت عملگرها و نیز نیرو در عملگرها، که متناظر با ورودی مسیر حرکت مطلوب ربات است، در یک ماتریس به صورت شکل 8 ذخیره می‌شود. نتایج شبیه‌سازی برای مسیر حرکت مطلوب ربات با استفاده از روش سی‌تی-سی در شکل 9 نمایش داده شده است. برای تمامی شبیه‌سازی‌ها، بازه زمانی کنترل 1 میلی‌ثانیه و بهره‌های مشتقی و تابعی مربوط به کلیه موتورهای ربات به ترتیب $k_{\text{p}i} = 10$ و $k_{\text{v}i} = 100$ در نظر گفته شده‌اند.

در گام بعد، عیوب معروف شده در قسمت قبل به ربات اعمال گردیده و ماتریس ورودی برنامه بی‌سی‌ای برای هر عیوب تشکیل می‌شود. در شکل 9 مقادیر δq^{aci} و $\delta \dot{q}^{\text{aci}}$ به ترتیب بیانگر خطای عملگر، سرعت عملگر و خطای در سرعت عملگر i ام می‌باشند. همچنین مقادیر F_i^{ac} بیانگر نیرو در عملگر i ام می‌باشد.



شکل 7 فلوچارت استفاده از روش پی‌سی‌ای در عیب‌یابی

مکان ابزار	مقادیر متغیر مفضل عملگر و غیرعملگرها												نیروی عملگرها سرعت عملگر و غیرعملگرها											
	x	y	z	q ₁	q ₂	q ₃	θ ₁	λ ₁	φ ₂	θ ₂	λ ₂	θ ₃	λ ₃	b ₁	b ₂	b ₃	θ ₄	θ ₅	θ ₆	F ₁ ^{ac}	F ₂ ^{ac}	F ₃ ^{ac}		
A	-0.0001	-0.0002	-0.0003	-0.0004	-0.0005	-0.0006	-0.0007	-0.0008	-0.0009	-0.00010	-0.00011	-0.00012	-0.00013	-0.00014	-0.00015	-0.00016	-0.00017	-0.00018	-0.00019	-0.00020	-0.00021	-0.00022	-0.00023	
B	-0.0001	-0.0002	-0.0003	-0.0004	-0.0005	-0.0006	-0.0007	-0.0008	-0.0009	-0.00010	-0.00011	-0.00012	-0.00013	-0.00014	-0.00015	-0.00016	-0.00017	-0.00018	-0.00019	-0.00020	-0.00021	-0.00022	-0.00023	
C	-0.0001	-0.0002	-0.0003	-0.0004	-0.0005	-0.0006	-0.0007	-0.0008	-0.0009	-0.00010	-0.00011	-0.00012	-0.00013	-0.00014	-0.00015	-0.00016	-0.00017	-0.00018	-0.00019	-0.00020	-0.00021	-0.00022	-0.00023	
D	-0.0001	-0.0002	-0.0003	-0.0004	-0.0005	-0.0006	-0.0007	-0.0008	-0.0009	-0.00010	-0.00011	-0.00012	-0.00013	-0.00014	-0.00015	-0.00016	-0.00017	-0.00018	-0.00019	-0.00020	-0.00021	-0.00022	-0.00023	
E	-0.0001	-0.0002	-0.0003	-0.0004	-0.0005	-0.0006	-0.0007	-0.0008	-0.0009	-0.00010	-0.00011	-0.00012	-0.00013	-0.00014	-0.00015	-0.00016	-0.00017	-0.00018	-0.00019	-0.00020	-0.00021	-0.00022	-0.00023	
F	-0.0001	-0.0002	-0.0003	-0.0004	-0.0005	-0.0006	-0.0007	-0.0008	-0.0009	-0.00010	-0.00011	-0.00012	-0.00013	-0.00014	-0.00015	-0.00016	-0.00017	-0.00018	-0.00019	-0.00020	-0.00021	-0.00022	-0.00023	
G	-0.0001	-0.0002	-0.0003	-0.0004	-0.0005	-0.0006	-0.0007	-0.0008	-0.0009	-0.00010	-0.00011	-0.00012	-0.00013	-0.00014	-0.00015	-0.00016	-0.00017	-0.00018	-0.00019	-0.00020	-0.00021	-0.00022	-0.00023	
H	-0.0001	-0.0002	-0.0003	-0.0004	-0.0005	-0.0006	-0.0007	-0.0008	-0.0009	-0.00010	-0.00011	-0.00012	-0.00013	-0.00014	-0.00015	-0.00016	-0.00017	-0.00018	-0.00019	-0.00020	-0.00021	-0.00022	-0.00023	
I	-0.0001	-0.0002	-0.0003	-0.0004	-0.0005	-0.0006	-0.0007	-0.0008	-0.0009	-0.00010	-0.00011	-0.00012	-0.00013	-0.00014	-0.00015	-0.00016	-0.00017	-0.00018	-0.00019	-0.00020	-0.00021	-0.00022	-0.00023	
J	-0.0001	-0.0002	-0.0003	-0.0004	-0.0005	-0.0006	-0.0007	-0.0008	-0.0009	-0.00010	-0.00011	-0.00012	-0.00013	-0.00014	-0.00015	-0.00016	-0.00017	-0.00018	-0.00019	-0.00020	-0.00021	-0.00022	-0.00023	
K	-0.0001	-0.0002	-0.0003	-0.0004	-0.0005	-0.0006	-0.0007	-0.0008	-0.0009	-0.00010	-0.00011	-0.00012	-0.00013	-0.00014	-0.00015	-0.00016	-0.00017	-0.00018	-0.00019	-0.00020	-0.00021	-0.00022	-0.00023	
L	-0.0001	-0.0002	-0.0003	-0.0004	-0.0005	-0.0006	-0.0007	-0.0008	-0.0009	-0.00010	-0.00011	-0.00012	-0.00013	-0.00014	-0.00015	-0.00016	-0.00017	-0.00018	-0.00019	-0.00020	-0.00021	-0.00022	-0.00023	
M	-0.0001	-0.0002	-0.0003	-0.0004	-0.0005	-0.0006	-0.0007	-0.0008	-0.0009	-0.00010	-0.00011	-0.00012	-0.00013	-0.00014	-0.00015	-0.00016	-0.00017	-0.00018	-0.00019	-0.00020	-0.00021	-0.00022	-0.00023	
N	-0.0001	-0.0002	-0.0003	-0.0004	-0.0005	-0.0006	-0.0007	-0.0008	-0.0009	-0.00010	-0.00011	-0.00012	-0.00013	-0.00014	-0.00015	-0.00016	-0.00017	-0.00018	-0.00019	-0.00020	-0.00021	-0.00022	-0.00023	
O	-0.0001	-0.0002	-0.0003	-0.0004	-0.0005	-0.0006	-0.0007	-0.0008	-0.0009	-0.00010	-0.00011	-0.00012	-0.00013	-0.00014	-0.00015	-0.00016	-0.00017	-0.00018	-0.00019	-0.00020	-0.00021	-0.00022	-0.00023	
P	-0.0001	-0.0002	-0.0003	-0.0004	-0.0005	-0.0006	-0.0007	-0.0008	-0.0009	-0.00010	-0.00011	-0.00012	-0.00013	-0.00014	-0.00015	-0.00016	-0.00017	-0.00018	-0.00019	-0.00020	-0.00021	-0.00022	-0.00023	
Q	-0.0001	-0.0002	-0.0003	-0.0004	-0.0005	-0.0006	-0.0007	-0.0008	-0.0009	-0.00010	-0.00011	-0.00012	-0.00013	-0.00014	-0.00015	-0.00016	-0.00017	-0.00018	-0.00019	-0.00020	-0.00021	-0.00022	-0.00023	
R	-0.0001	-0.0002	-0.0003	-0.0004	-0.0005	-0.0006	-0.0007	-0.0008	-0.0009	-0.00010	-0.00011	-0.00012	-0.00013	-0.00014	-0.00015	-0.00016	-0.00017	-0.00018	-0.00019	-0.00020	-0.00021	-0.00022	-0.00023	
S	-0.0001	-0.0002	-0.0003	-0.0004	-0.0005	-0.0006	-0.0007	-0.0008	-0.0009	-0.00010	-0.00011	-0.00012	-0.00013	-0.00014	-0.00015	-0.00016	-0.00017	-0.00018	-0.00019	-0.00020	-0.00021	-0.00022	-0.00023	
T	-0.0001	-0.0002	-0.0003	-0.0004	-0.0005	-0.0006	-0.0007	-0.0008	-0.0009	-0.00010	-0.00011	-0.00012	-0.00013	-0.00014	-0.00015	-0.00016	-0.00017	-0.00018	-0.00019	-0.00020	-0.00021	-0.00022	-0.00023	
U	-0.0001	-0.0002	-0.0003	-0.0004	-0.0005	-0.0006	-0.0007	-0.0008	-0.0009	-0.00010	-0.00011	-0.00012	-0.00013	-0.00014	-0.00015	-0.00016	-0.00017	-0.00018	-0.00019	-0.00020	-0.00021	-0.00022	-0.00023	
V	-0.0001	-0.0002	-0.0003	-0.0004	-0.0005	-0.0006	-0.0007	-0.0008	-0.0009	-0.00010	-0.00011	-0.00012	-0.00013	-0.00014	-0.00015	-0.00016	-0.00017	-0.00018	-0.00019	-0.00020	-0.00021	-0.00022	-0.00023	
W	-0.0001	-0.0002	-0.0003	-0.0004	-0.0005	-0.0006	-0.0007	-0.0008	-0.0009	-0.00010	-0.00011	-0.00012	-0.00013	-0.00014	-0.00015	-0.00016	-0.00017	-0.00018	-0.00019	-0.00020	-0.00021	-0.00022	-0.00023	
X	-0.0001	-0.0002	-0.0003	-0.0004	-0.0005	-0.0006	-0.0007	-0.0008	-0.0009	-0.00010	-0.00011	-0.00012	-0.00013	-0.00014	-0.00015	-0.00016	-0.00017	-0.00018	-0.00019	-0.00020	-0.00021	-0.00022	-0.00023	
Y	-0.0001	-0.0002	-0.0003	-0.0004	-0.0005	-0.0006	-0.0007	-0.0008	-0.0009	-0.00010	-0.00011	-0.00012	-0.00013	-0.00014	-0.00015	-0.00016	-0.00017	-0.00018	-0.00019	-0.00020	-0.00021	-0.00022	-0.00023	
Z	-0.0001	-0.0002	-0.0003	-0.0004	-0.0005	-0.0006	-0.0007	-0.0008	-0.0009	-0.00010	-0.00011	-0.00012	-0.00013	-0.00014	-0.00015	-0.00016	-0.00017	-0.00018	-0.00019	-0.00020	-0.00021	-0.00022	-0.00023	

شکل 8 پارامترهای ورودی به برنامه عیوب‌یابی

$$\hat{x} = Cx$$

$$\tilde{x} = \tilde{C}x$$

که در آن \hat{x} تصویر بردار نمونه x در فضای مولفه‌های اصلی و \tilde{x} تصویر بردار

نمونه x در فضای باقیمانده می‌باشد. به طور کلی و در شرایط عادی داده‌های

نرمال در \hat{x} و داده‌های غیرعادی در \tilde{x} اتفاق می‌افتد. در صورت وجود عیوب،

تفاوت بین \hat{x} و \tilde{x} بزرگ شده و نتیجه این تفاوت $Q_{\text{statistic}}$ می‌باشد.

همچنین به منظور یافتن جمع مربعات اختلاف بین x و مولفه‌های اصلی در

مدل پی‌سی‌ای، می‌توان کمیتی موسوم به $Q_{\text{statistic}}$ که به اصطلاح

هم نماید، در آن $Q_{\text{statistic}} = \text{SPE}(x) = \|\tilde{x}\|^2 = x^T(I - C)x$

کمیت اس‌پی‌ای به طور مستقیم از روی مدل پی‌سی‌ای و بردار اندازه‌گیری

شده x محاسبه می‌شود. کمیت Q_{α} حد آستانه و محدوده اطمینان برای

پی‌سی‌ای را نشان می‌دهد و بصورت زیر بیان می‌شود

$$Q_{\text{statistic}} = \text{SPE}(x) = \|\tilde{x}\|^2 = x^T(I - C)x \quad (25)$$

کمیت اس‌پی‌ای به طور مستقیم از روی مدل پی‌سی‌ای و بردار اندازه‌گیری

شده x بوده و وقتی که $\text{SPE}(x) \geq Q_{\alpha}^2$ باشد، سیستم در شرایط غیرعادی یا

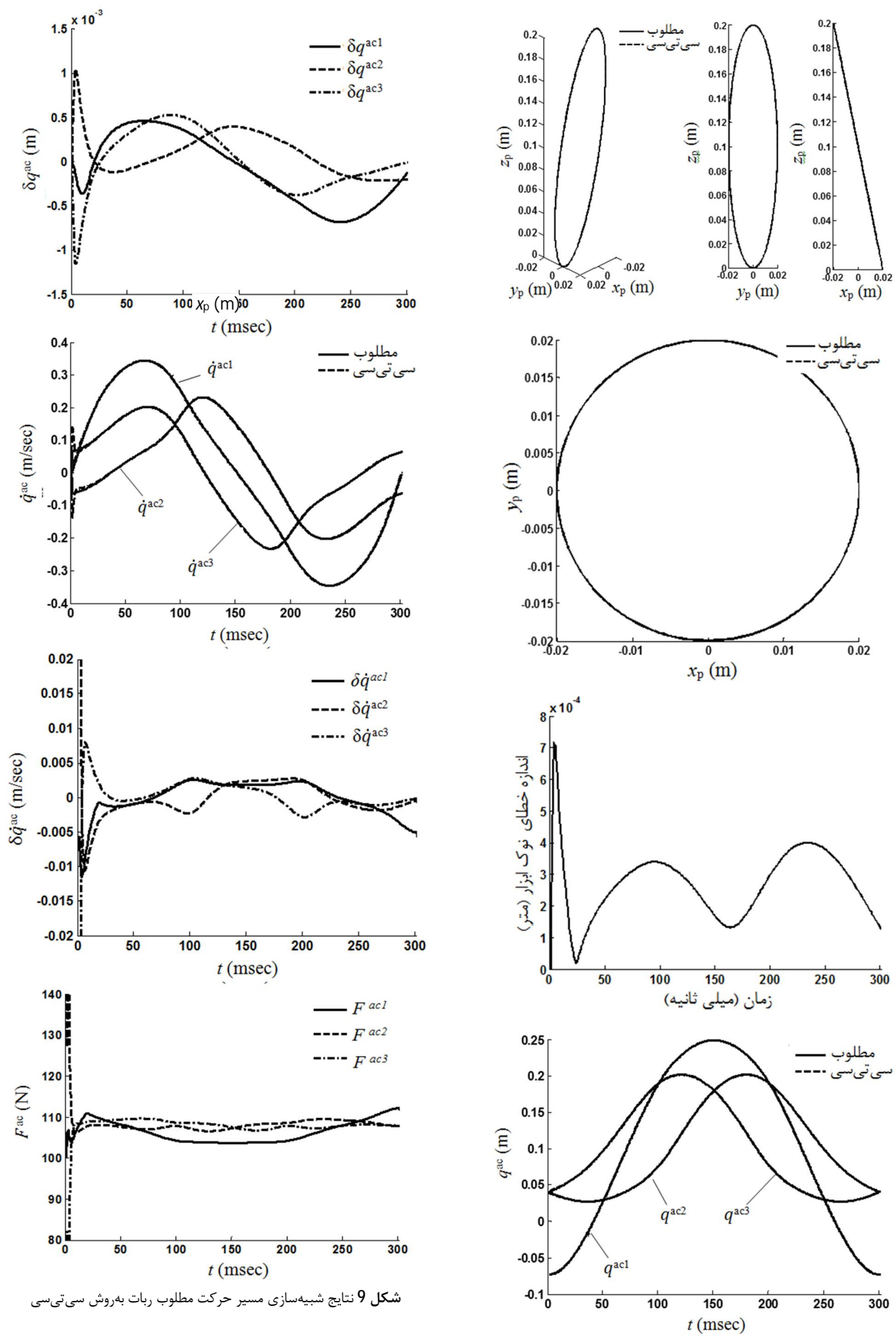
معیوب است. شکل 7 فلوچارت استفاده از روش پی‌سی‌ای در عیوب‌یابی را

نمایش می‌دهد. در این مقاله، حد آستانه Q_{α}^2 برای اس‌پی‌ای با سطح ۹۵٪

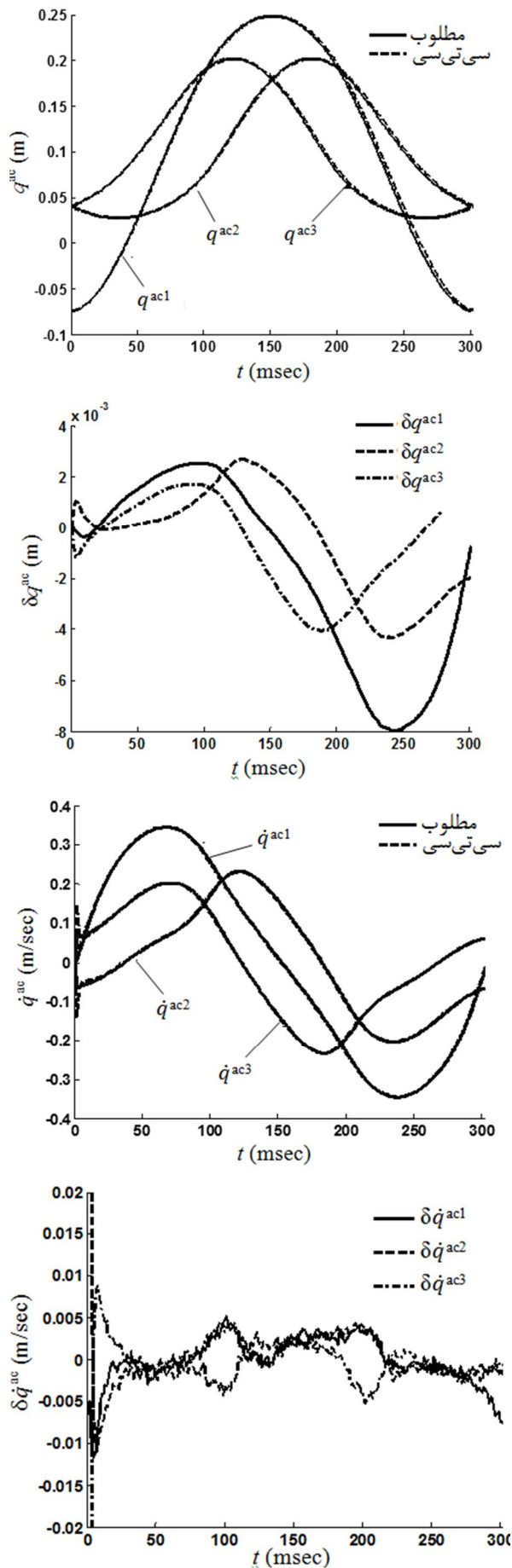
ای می‌توان تمام متغیرها اعم از ورودی‌ها و خروجی‌های سیستم را در یک

ماتریس واحد برای ورودی کرد. برای این منظور، برای انجام آزمایشات،

۲۴ پارامتر که هر کدام شامل ۳۰۲ نمونه هستند، در نظر گرفته شده است.



شکل ۹ نتایج شبیه‌سازی مسیر حرکت مطلوب ربات به روش سی‌تی‌سی



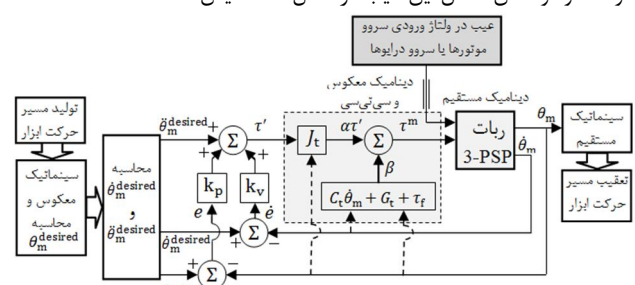
7-2-1: عیب در ولتاژ ورودی سروو موتورها یا سروو درایوها

در این قسمت، ولتاژ ورودی سروو موتورها یا سروو درایوها در مدل کنترل شبیه‌سازی شده‌ی ربات، مغایب در نظر گرفته شدند. در این مقاله، عیب مورد نظر به صورت یک تابع تصادفی به ورودی مدل شبیه‌سازی شده‌ی ربات یا همان دینامیک مستقیم ربات در حلقه‌ی کنترلی اعمال می‌شود. نحوه و مکان اعمال این عیب در شکل 10 نمایش داده شده است.

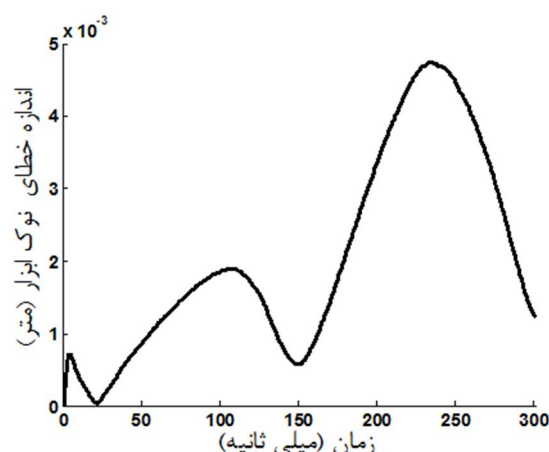
سپس مسیر حرکتی که در قسمت قبل معرفی گردید، به ورودی مدل کنترلی سی‌تی‌سی اعمال می‌شود. همان‌طور که قبل از این گفته شد، این مسیر حرکتی به صورت یک بیضی فضایی برای مکان انتهایی ابزار در نظر گرفته شده است. پس از آن، خروجی‌های کنترل شامل مقادیر اتصالات محرك و متوجه، سرعت عملگرهای خطی و نیز نیرو در عملگرهای ابزار، در یک ماتریس به صورت شکل 8 برای حالتی که ولتاژ ورودی سروو موتورها یا سروو درایوها در مدل کنترل شبیه‌سازی شده‌ی ربات مغایب در نظر گرفته شدند، ذخیره می‌شوند. با ذخیره مقدار موردنظر، ماتریس ورودی برنامه پی‌سی‌ای برای این عیب تشکیل می‌شود. این مقادیر و نتایج شبیه‌سازی برای مسیر حرکت با اعمال عیب 1 روی ربات با استفاده از روش سی‌تی‌سی در شکل 11 نمایش داده شده‌اند. در شکل 11، مقادیر $\delta\dot{q}^{\text{aci}}$ ، δq^{aci} و $\delta\ddot{q}^{\text{aci}}$ نسبتی بیانگر خطای عملگر، سرعت عملگر و خطأ در سرعت عملگر / ام بوده و مقادیر F_i^{aci} نیرو در عملگر / ام می‌باشد.

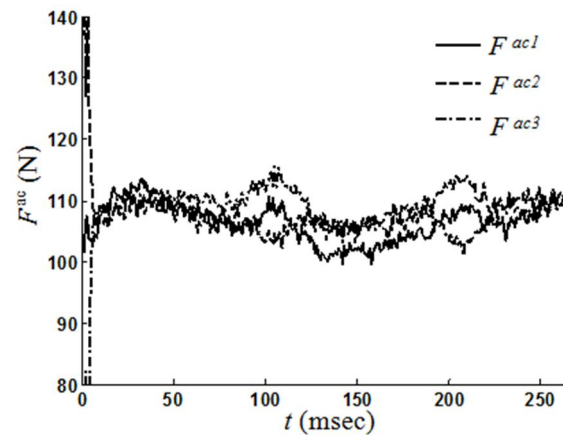
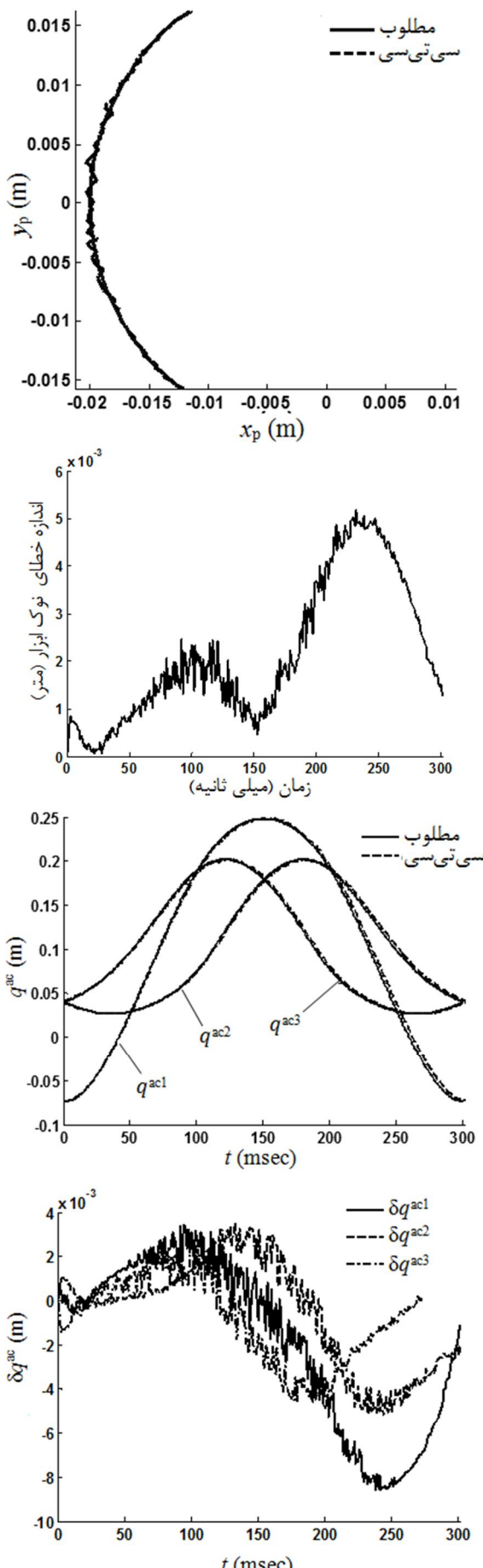
7-3-2: عیب در سنسورهای مکان یا لقی ها

در این قسمت، سنسورهای مکان ربات مغایب در نظر گرفته شده‌اند. این عیب همچنین می‌تواند به صورت اثر لقی در اتصال‌های مکانیکی در ربات ظاهر شود. در این مقاله، عیب مورد نظر می‌تواند به صورت یک تابع تصادفی بر حسب درصد مقادیر متناظر اتصالات در مسیر حرکت، به خروجی مدل شبیه‌سازی شده‌ی ربات یا همان دینامیک مستقیم ربات در حلقه‌ی کنترلی اعمال شود. نحوه و مکان اعمال این عیب در شکل 12 نمایش داده شده است.

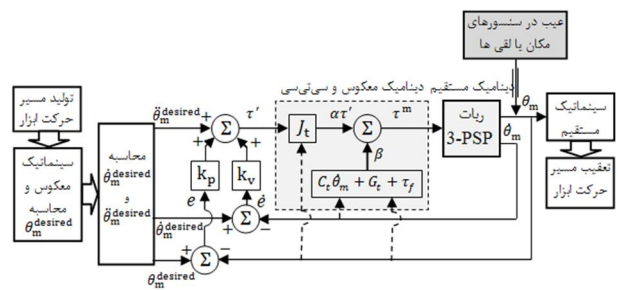


شکل 10 نحوه و مکان اعمال عیب 1 و مدل کنترلی متناظر با آن





شکل ۱۱ نتایج شبیه‌سازی مسیر حرکت ربات با اعمال عیب ۱ به روش سی‌تی‌سی

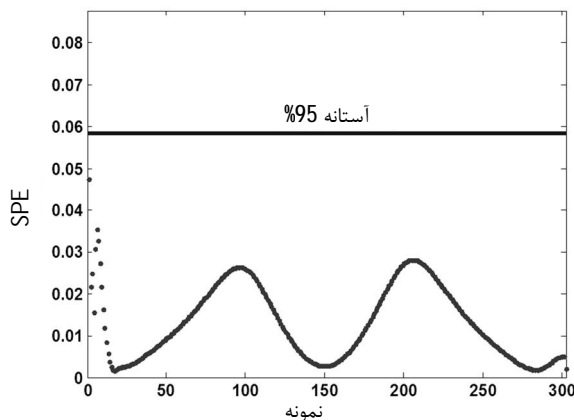


شکل ۱۲ نحوه و مکان اعمال عیب ۲ و مدل کنترلی متناظر با آن

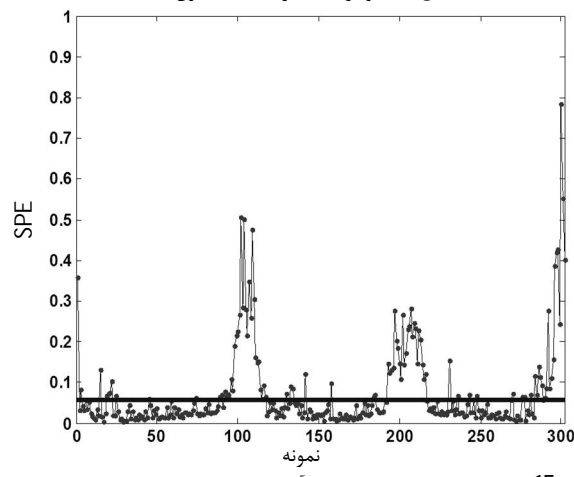
سپس مسیر حرکتی که در قسمت قبل معرفی گردید و به صورت یک بیضی فضایی برای مکان انتهایی ابزار در نظر گرفته شده بود، به ورودی مدل کنترلی سی‌تی‌سی اعمال می‌شود. پس از آن، خروجی‌های کنترل شامل مقادیر اتصالات محرک و متجرک، سرعت عملگرهای خطی و نیز نیرو در عملگرهای، در یک ماتریس به صورت شکل ۸ ذخیره می‌شوند. این مقادیر برای حالتی هستند که اثر لقی در اتصالات مکانیکی در ربات در نظر گرفته شده و یا اینکه سنسورهای مکان ربات معیوب باشند. با ذخیره مقادیر ذکر شده، ماتریس ورودی برنامه پی‌سی‌ای برای عیب مورد نظر تشکیل می‌شود. این مقادیر و نتایج شبیه‌سازی برای مسیر حرکت با اعمال عیب ۲ روی ربات با استفاده از روش سی‌تی‌سی در شکل ۱۳ نمایش داده شده‌اند. در شکل ۱۳،

شکل‌های ۱۴، ۱۵ و ۱۶ مقادیر SPE داده‌ها را به ترتیب در شرایط بدون عیب و در حالت اعمال عیب‌های ۱ و ۲ به ربات نشان می‌دهند. همان‌طور که از این شکل‌ها پیداست، مقادیر SPE برای مسیر مطلوب (بدون اعمال عیب)، از مقدار حد آستانه کمتر می‌باشند. همچنین برای حالت‌های معیوب، مقادیر SPE در برخی نقاط مسیر بیشتر از مقدار حد آستانه بوده و هر چه به مقادیر

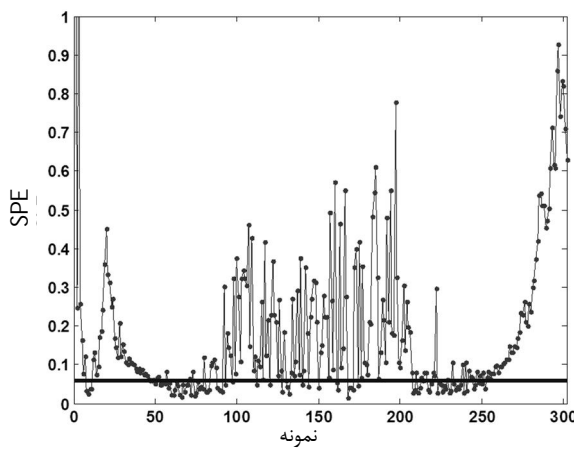
خطا افزوده می‌شود، مقدار انحراف SPE از حد مجاز بیشتر خواهد بود. بطور کل می‌توان برای این دو آزمایش مشاهده کرد که اثر لقی اتصالات در خطای ایجاد شده در مسیر انتهایی ابزار بیشتر از اثر عیب در ولتاژ و یا گشتاور اعمالی موتورها می‌باشد. بنابراین، با طراحی بهینه‌ی اجزا و اتصالات و رعایت دقیق ترانس‌های ساخت در ربات، می‌توان از ایجاد خطاهای بوجود آمده در ربات که از اثر لقی در اتصالات ناشی می‌شوند، کاست. البته لقی در اتصالات مختلف ربات، اثرهای متفاوتی بر خطای عملگر انتهایی ربات می‌گذارد.



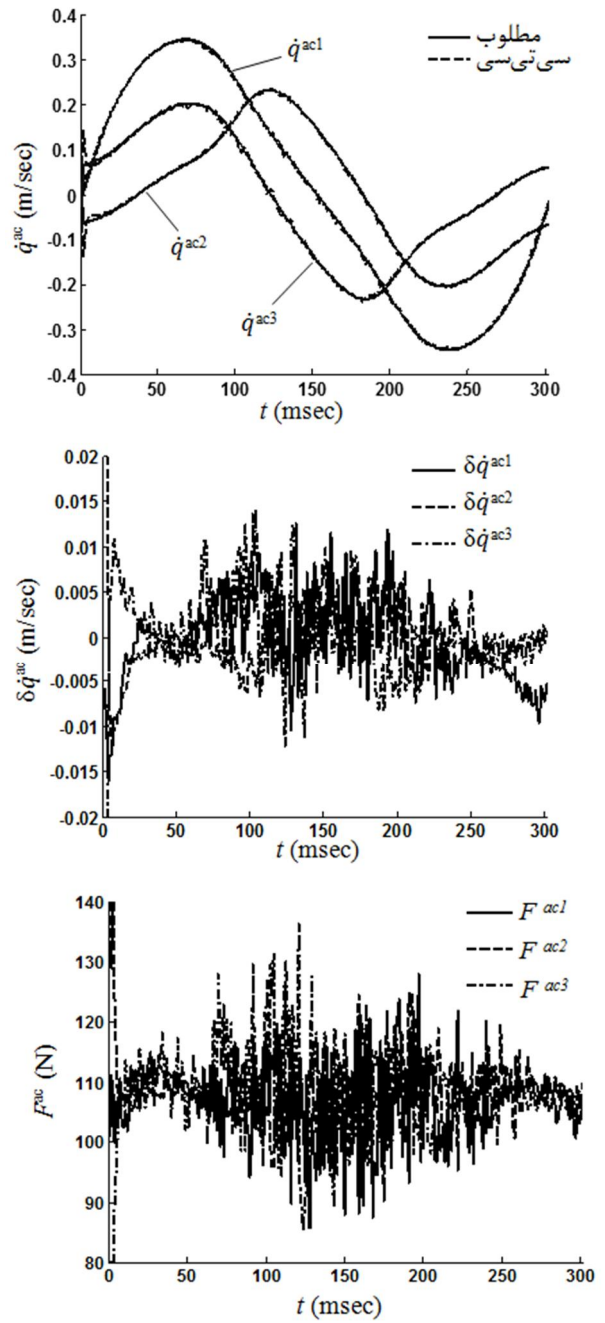
شکل ۱۴ نمودار SPE برای حالت بدون عیب



شکل ۱۵ نمودار SPE برای شرایط بوجود آمدن عیب در ولتاژ ورودی سروو موتورها یا سروو درایوها



شکل ۱۶ نمودار SPE برای شرایط وجود عیب در سنسورهای مکان یا لقی‌ها مساله مورد مطالعه است. برای بررسی کارایی این روش به منظور عیب‌یابی ربات، از یک کنترلر غیرخطی با استفاده از روش کنترل گشتاور محاسبه شده استفاده گردیده است. در مدل کنترلی ارائه شده برای ربات، از مدل دینامیک ربات بهره گرفته شده است. همچنین، دینامیک ربات با استفاده از روش متعامد تکمیلی طبیعی یا به اختصار ان-۱-سی مدل‌سازی گردیده است. به منظور شبیه‌سازی عملکرد روش پی‌سی‌ای برای عیب‌یابی ربات، دو عیب به مدل کنترلی ربات اعمال شده است. این عیوب شامل -۱- عیب در ولتاژ ورودی سروو موتورها یا سروو درایوها و -۲- عیب در سنسورهای مکان یا عیوب مربوط به لقی اتصالات می‌باشند. سپس، این دو عیب به مدل کنترلی



شکل ۱۳ نتایج شبیه‌سازی مسیر حرکت ربات با اعمال عیب ۲ به روش سی‌تی‌سی به عبارتی دیگر، اثر لقی برخی اتصالات می‌تواند اثر لقی بعضی دیگر از اتصالات ربات بر خطای عملگر انتهایی ربات بیشتر باشد. برای این منظور باید بررسی‌های دقیق‌تری درباره میزان اثر هر عامل روی خطای ایجاد شده در عملگر انتهایی ربات انجام شود.

8- نتیجه

نظر به اهمیت بحث دقت در ساخت و بهره‌برداری از ربات‌ها در صنایع مختلف، مقوله‌ی بررسی تاثیر عیوب مختلف در عملکرد آن‌ها، می‌تواند در طراحی و ساخت این دسته از ربات‌ها بسیار حائز اهمیت باشد. در این مقاله، از روش آنالیز مولفه‌های اصلی موسوم به روش پی‌سی‌ای برای تعیین حالت عیوب ربات موازی ۳-پی‌اس‌پی استفاده شده است. این روش، یکی از انواع روش‌های تحلیل داده‌های چند متغیره بوده که هدف اصلی آن تقلیل بعد

- [8] L. Chiang, E. Russell, R. Braatz, *Fault Detection and Diagnosis in Industrial Systems*, Nueva York: Springer, 2000.
- [9] J. Jackson, *A user's guide to principal components*, Wiley, 1991.
- [10] V. Venkatasubramanian, R. Rengaswamy, S. Kavuri, K. Yin, A review of process fault detection and diagnosis, part iii: Process history based methods, *Computers & Chemical Engineering*, vol. 27, pp. 327–346, 2003.
- [11] Y. Tharrault, G. Mourot, J.Ragot, D.Maquin, Fault Detection and Isolation with Roboust Principal Component Analysis, *Int. J. Appl. Math. Comput. Sci.*, 2008, Vol. 18, No. 4, 429–442.
- [12] E.Kilic, *Fault detection and Diagnosis in nonlinear Dynamical system*, A thesis submitted in partial fulfillment of the requirements for Doctor of Philosophy, The Graduate School of Natural and applied Sciences of Middle East Technical University, August 2005.
- [13] Xiao Fu, *Sensor Fault Detection and Diagnosis of Air Handling Units*, A thesis submitted in partial fulfillment of the requirements for the Degree of Doctor of Philosophy, Department of Building Services Engineering, Hong Kong Polytechnic University, April 2004.
- [14] S. Wang, Ji.Cui, Sensor-fault detection, diagnosis and estimation for centrifugal chiller systems using principal-component analysis method, *Applied Energy* 82 (2005) 197–213.
- [15] S. Wang; Ji. Cui, A Robust Fault Detection and Diagnosis Strategy for Centrifugal Chillers HVAC&R Research; Jul 2006; 12, 3; *Career and Technical Education* pg. 407, July 2006.
- [16] Y. Chen, L. Lan, A fault detection technique for air-source heat pump water chiller/heaters, *Energy and Buildings* 41 (2009) 881–887.
- [17] A. Rezaei, *Start-up and control of the 3-PSP parallel manipulator*, M.Sc. Thesis, Department of Mechanical Engineering, Ferdowsi University, Mashhad, 2011. (In Persian)
- [18] A. Rezaei, A. Akbarzadeh, P.M. Nia, M.R. Akbarzadeh-T., Position, Jacobian and Workspace Analysis of a 3-PSP Spatial Parallel Manipulator, *Robotics and Computer Integrated Manufacturing*, Vol. 29, pp. 158–173, 2013
- [19] A. Rezaei, A. Akbarzadeh, M.R. Akbarzadeh-T., An Investigation on Stiffness Analysis of a 3-PSP Spatial Parallel Mechanism with Flexible Moving Platform Using Invariant Form, *Mechanism and machine theory*, Vol. 51, pp. 195–216, 2012
- [20] H.R. Hassanzadeh, M.R. Akbarzadeh-T, A. Akbarzadeh, A. Rezaei, An interval-valued fuzzy controller for complex dynamical systems with application to a 3-PSP parallel robot, *Fuzzy Sets and Systems*, 235, 83–100, 2014.
- [21] P. Mahmoodi Nia, A. Akbarzadeh T. Inverse Dynamics modeling of 3-PSP parallel manipulator using Natural Orthogonal Complement method (NOC), 17th Annual (International) Conference on Mechanical Engineering-ISME 2009, University of Tehran, Iran, May, 2009
- [22] Ou Ma, *Mechanical Analysis of Parallel Manipulators with Simulation, Design and Control Applications*, PhD Thesis, McGill University, Montreal, 1991
- [23] P. Mahmoodi Nia, *Kinematics and dynamics analysis of the 3-PSP parallel manipulator*, M.Sc. Thesis, Department of Mechanical Engineering, Ferdowsi University, Mashhad, 2009. (In Persian)
- [24] John J. Craig, *Introduction to Robotics: Mechanics and Control*, Wesley Publishing Company, 1989
- [25] F. Caccavale, L. Villani, *Fault Diagnosis and Fault Tolerance for Mechatronic Systems*, New York: Springer Verlag, 2003.

ربات در طی یک مسیر حرکتی که به صورت یک بیضی فضایی برای مکان انتهایی ابزار در نظر گرفته شده، اعمال می‌گردد. پس از آن، برای هر دو حالت سالم و معیوب، خروجی‌های کنترلر شامل مقادیر اتصالات محرك و متحرك، سرعت عملگرهای خطی و نیز نیرو در عملگرها، که متناظر با ورودی مسیر حرکت مطلوب ربات است، در ماتریس ورودی پی‌سی‌ای ذخیره می‌شود. در این روش، ارتباط بین متغیرهای موجود در ربات بدست آمده و سپس با کاهش ابعاد داده‌های اندازه‌گیری شده، حالت‌های معیوب ربات شناسایی می‌شوند. پس از بدست آوردن ماتریس ورودی پی‌سی‌ای، مقادیر SPE داده‌ها به ترتیب برای شرایط سالم و معیوب محاسبه گردیده است. می‌توان از نتایج بدست آمده این گونه نتیجه گرفت که هنگامی که مقدار SPE، بالای حد آستانه قرار گیرد، در سیستم عیبی رخ داده است و در حالتی که در زیر حد آستانه باشد، سیستم در حالت سالم کار می‌کند. هرچه میزان SPE بیشتر از حد مجاز باشد نشان‌گر بزرگی بیشتر خطای رخ داده در سیستم است. همچنین، نتایج نشان می‌دهند که اثر لقی اتصالات در خطای ایجاد شده در مسیر انتهایی ابزار بیشتر از اثر عیب در ولتاژ و یا گشتاور اعمالی موتورها می‌باشد. بنابراین، رعایت دقیق تلرانس‌های ساخت ربات، یکی از راههای جلوگیری از بروز خطاهای ناخواسته و اثرگذار در سیستم می‌تواند باشد.

۹ - مراجع

- [1] W.E. Dixon, I.D. Walker, D.M. Dawson, J.P. Hartranft, Fault Detection for Robot Manipulators with Parametric Uncertainty: A Prediction-Error-Based Approach, *IEEE TRANSACTIONS ON ROBOTICS AND AUTOMATION*, VOL. 16, NO. 6, 2000
- [2] M.D. Anand, T. Selvaraj, S. Kumaran, Fault detection and fault tolerance methods for industrial robot manipulator based on hybrid intelligent approach, *Advances in Production Engineering & Management* 7.4, pp. 225–236, 2012.
- [3] G. Kaplan, O. Igoglu, A.B. Yoldemir, M. Sezgin, Real-time object detection using dynamic principal component analysis, *Ground Penetrating Radar (GPR)*, 2010 13th International Conference, pp. 1-6. IEEE, 2010.
- [4] F. Zanaty, Consistency Checking Techniques for the Space Shuttle Remote Manipulator System, *SPAR Journal of Engineering and Technology*, Vol. 2, No. 1, pp. 40-49, 1993.
- [5] M. L. McIntyre, W. E. Dixon, D. M. Dawson, I. D. Walker, Fault detection and identification for robot manipulators, *Robotics and Automation, 2004. Proceedings. ICRA'04. 2004 IEEE International Conference on*. Vol. 5. IEEE, 2004.
- [6] D. Garcia-Alvarez, Fault detection using principal component analysis (PCA) in a wastewater treatment plant (WWTP), *Proceedings of the International Student's Scientific Conference*. 2009.
- [7] J. Jackson and G. Mudholkar, Control procedures for residuals associated with principal component analysis, *Technometrics*, vol. 21, pp. 341–349, 1979.